

ここまであらすじ

§ 1 標準模型と標準模型を超える物理についての概要 (4/15 + 4/22、スライドで)

§ 2 今後の予定

§ 3 場の量子論入門 (5/13~)

§ 3.1 はじめに

§ 3.2 自由スカラー場 (5/20)

§ 3.3 相互作用するスカラー場 (5/27~)

§ 3.3.1 概略

§ 3.3.2 S 行列と散乱振幅 \mathcal{M}

§ 3.3.3 遷移確率：一般論

§ 3.3.4 $n = 2$ の場合、散乱断面積 σ

§ 3.3.5 散乱振幅 \mathcal{M} の計算の概要

§ 4 標準宇宙論入門 $\frac{6}{3}, \frac{6}{5}, \frac{6}{10}$

§ 5 暗黒物質

…  今日こじへら

4/17 (訂正)

参考資料：

日本語解説記事「宇宙のダークマター直接探索の現状」

https://www.jstage.jst.go.jp/article/butsuri/75/2/75_68/_article/-char/ja/

Review of Particle Physics, ``Dark Matter''

<https://pdg.lbl.gov/2025/reviews/rpp2024-rev-dark-matter.pdf>

最近のレビュー (500ページ以上 !)

<https://arxiv.org/abs/2406.01705>

5.1 DM の証明

5.2 DM をみるための条件, DM の候補

5.3 WIMP, 熱的残存量の計算

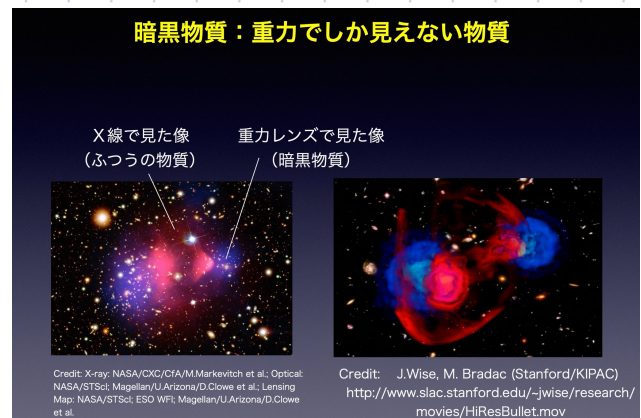
5.4 例：Higgs-portal DM

(5.5 最近の研究より。中性子星温度観測による DM 探索)

5.1 DM の証明

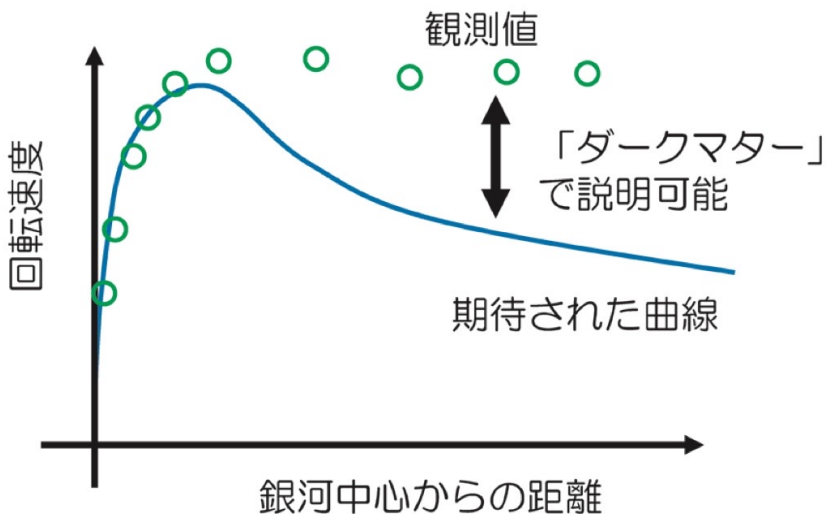
銀河は 27-11 で独立に証明できる

27-11	観測	
銀河 kpc	回転曲線	DM の存在。 遠くの星と束縛が弱い
銀河団 Mpc	速度分散	
銀河団 衝突	ガス (X線) 質量分布 (重力レンズ)	これらつかい合離
宇宙 全体	CMB 大規模構造	



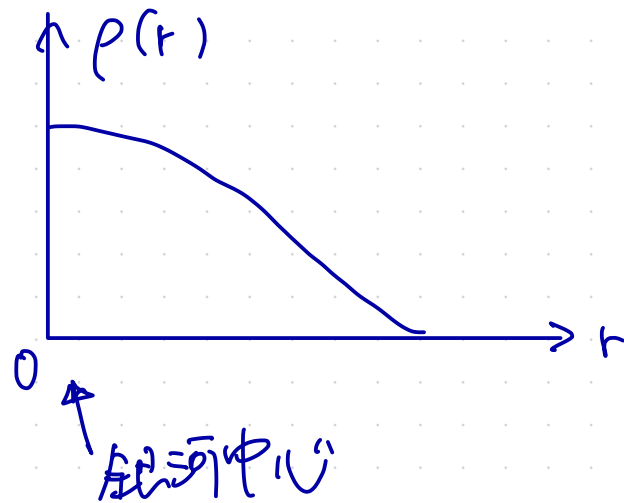


回転曲線についてざっくり見よう

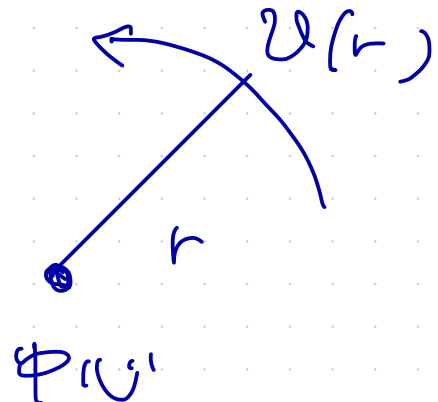


色々な銀河
同じ様な分布
P11 見らうよ

カンタンのために銀河の回転曲線を
仮定すると…



中心から離れて
質量 m の星までの距離 r
(カンタンのために円運動)
しているとすると



$$\frac{m v^2(r)}{r} = \frac{G m M(r)}{r^2}$$

(遠心力)

(重力)

$$M(r) = \int_0^r \rho(r') 4\pi r'^2 dr'$$

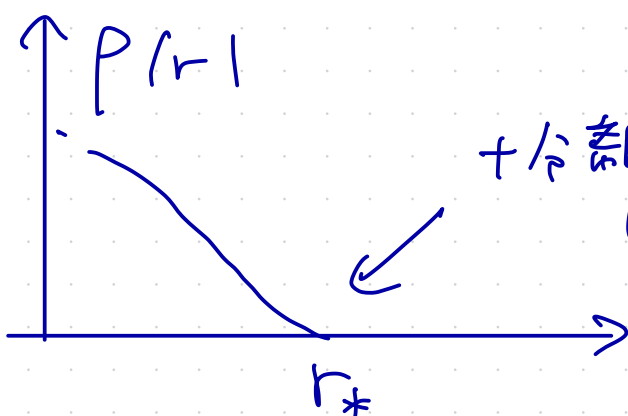
$\rho \propto r^2$

$$U(r) = -\frac{GM(r)}{r}$$



▶ 物理・DM の「重力」

星では「重力」、地と月は「引

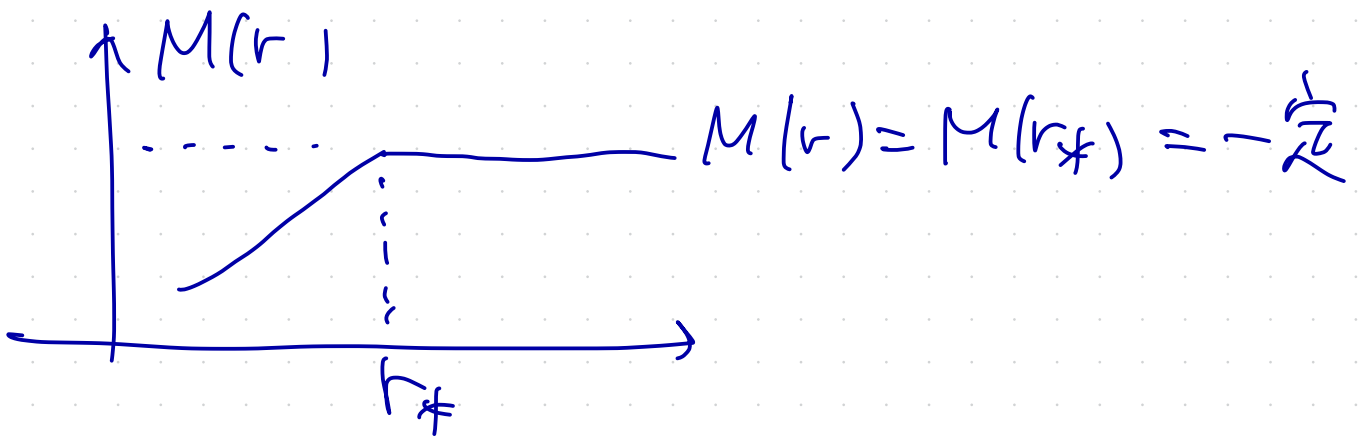


+ 今離すほど星はほとんどの位置

$(r \gg r_*)$

$$\rightarrow M(r) = \int_0^r \rho(r') 4\pi r'^2 dr'$$

$$\approx \int_0^{r_*} \rho(r') 4\pi r'^2 dr' = M(r_*)$$



すばる ~~×~~ 式 54

$$v(r) \sim \sqrt{\frac{GM(r_*)}{r}} \propto \frac{1}{r^{1/2}}$$

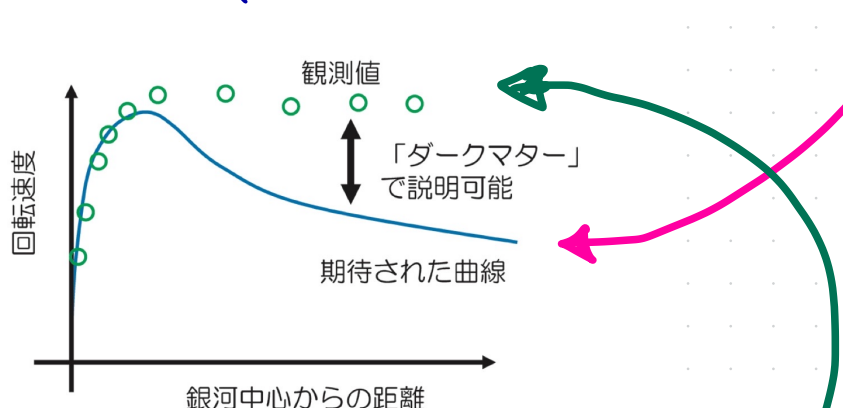


図1 ダークマターの存在を支持することになった、銀河の回転曲線観測の概念図。光学的に観測される天体のみによる引力で期待される回転速度を曲線で示す。これに対して、観測された回転速度は丸印のようになり、この差を説明するためには「ダークマター」が必要であるとされた。

しかし銀河には $v(r) \sim \text{const}$

$$\rightarrow M(r) \propto r$$

$$\rightarrow \rho(r) \propto \frac{1}{r^2}$$

→ 見えづらさも何の密度かの関係で

Dark Matter.

5.2 DM 2. みるための条件. DM の候補

条件

① Neutral

- 電気的に中性

- color を持つことはない
(強・相互作用)

左記する
CMB観測
はとく
合には

② 安定. or 寿命 > 宇宙年齢

(左記する現在の観測で
説明できる)

③ "Cold"

かつて宇宙構造形成の頃以降

(数年～数千年、温度～ $1\text{eV} \sim 10000\text{K}$)

または非相手譲り (速い $v \ll c$)

Cold
Dark
Matter
(CDM)

(左記する宇宙構造を作成する)

標準模型の粒子は DM は $\tau_2 + \tau_1$

	① neutral	② 安定	③ Gold
quark	No		
lepton { e, μ , τ , ν }	No	Yes	Yes No
gauge W, Z boson g	No		
γ	Yes	Yes	No
Higgs	Yes	No	

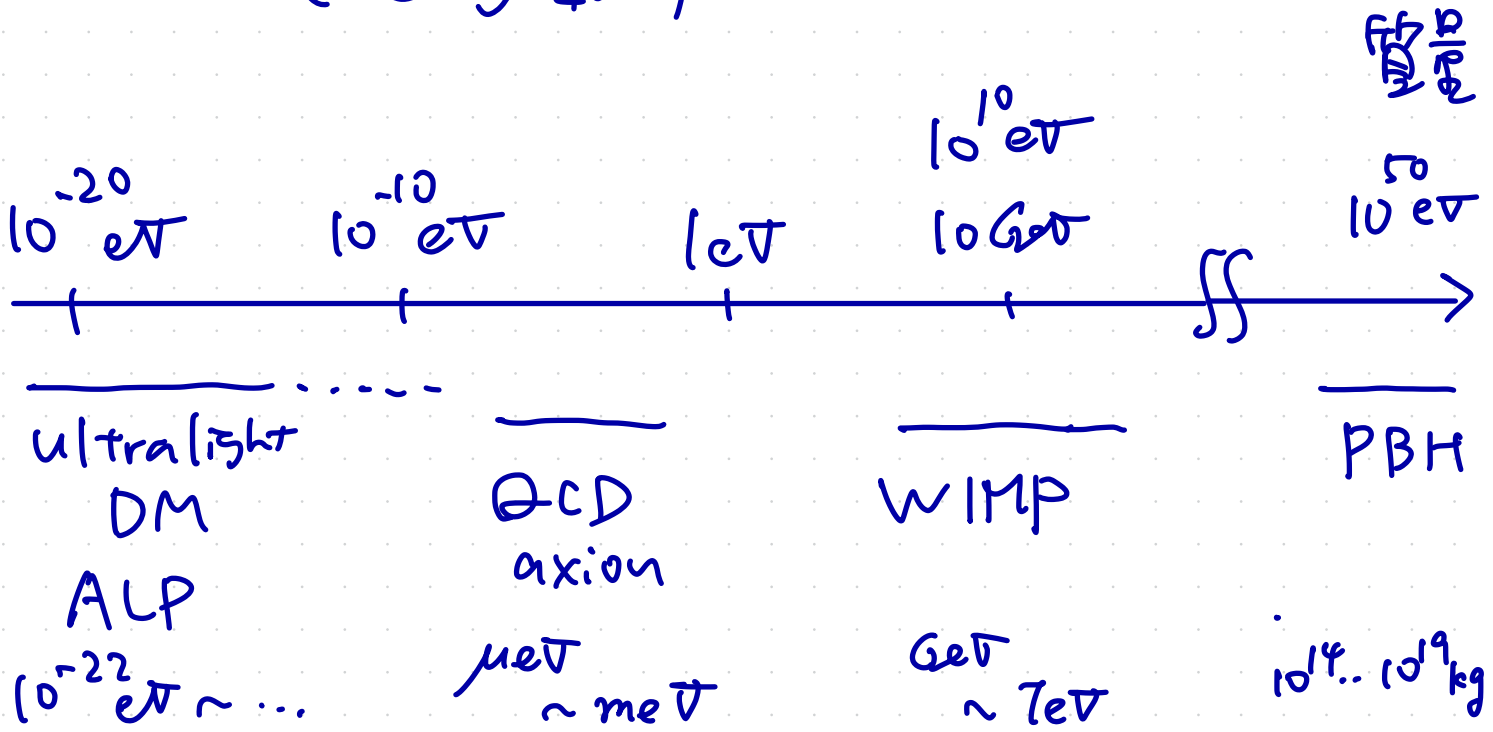
→ 標準模型と超弦物理の必要.

DM の候補

- WIMP Weakly Interacting Massive Particle
(→ 之後 5.3 で)
- QCD axion
→ ジュラクション version
ALPs = Axion-Like Particle

• 原子核スケール - 以上

↓
↓
↓
(他多数)

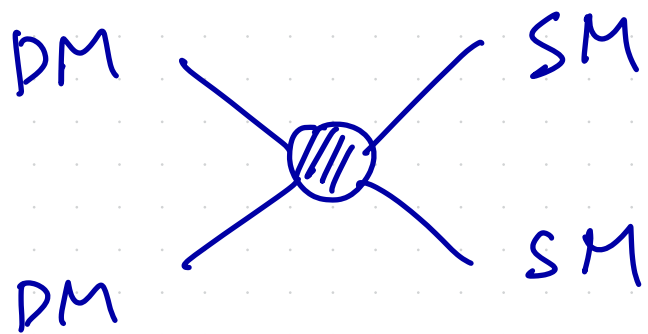


5.3 WIMP

Weakly Interacting Massive Particle

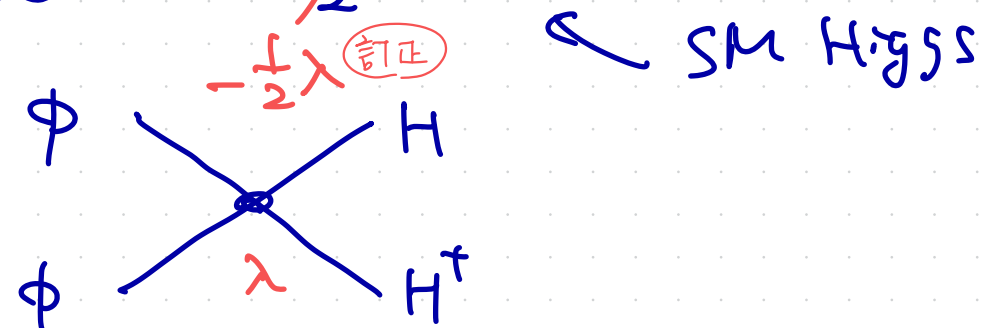
SM (標準模型) + 電弱相互作用 (EW) + 強力 ($\alpha \sim 0.01$) + 質量 (GeV ~ TeV)

2. SM 粒子と相互作用



(1) Higgs - portal DM : ϕ

$$\mathcal{L}_{\text{int}} = \cancel{\frac{1}{2} \phi^2 (H^\dagger H)}$$



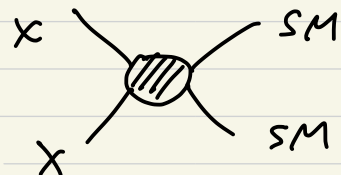
DM relic
仮定
 {
 DM X
 mass m
 安定
 SM 粒子は初期消滅 2-電子

このから
ちよと長いです

X の密度

S : エントリーダー密度

$$\frac{n_x}{S}$$



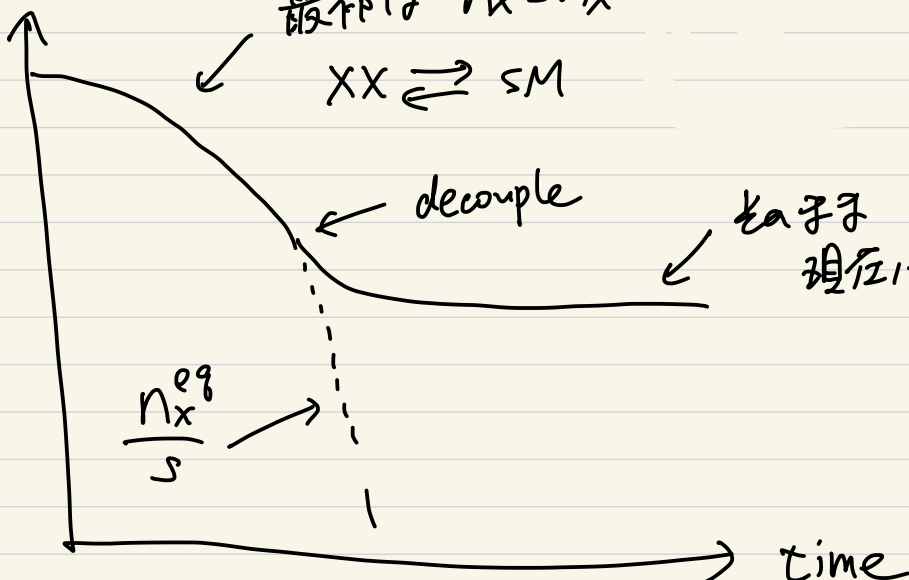
最終的に $n_x = n_x^{\text{eq}}$

$$XX \rightleftharpoons SM$$

decouple

粒子現象終了

$$\frac{n_x^{\text{eq}}}{S}$$



*

$$\frac{n_x}{S}$$

コレ何?

(?) 2... 寧い子か?

$n_x \dots$ 粒密度

何もいぢれこむ 宇宙膨張 2..

$$n_x \propto a^{-3}$$

↑ 27-122ウタ -

→ n_x の時間発展をとるまよ

速いへん不便

→ 同じく $\propto a^{-3}$ と変化する量

2.. 寛い, 2点と便利)

$$S = \frac{2\pi^2}{45} g_* T^3 \dots \text{エントロピー - モード}$$

X-number 物質密度

$$\left\{ \begin{array}{l} n_x \propto a^{-3} \\ S \propto a^{-3} \end{array} \right.$$

$$\frac{n_x}{S} = \text{const}$$

(comoving vol. 27.19
数)

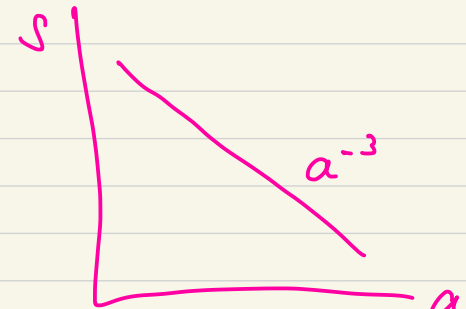
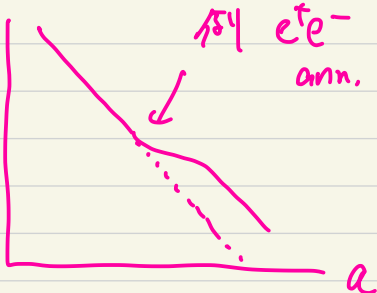
$$\frac{n_x}{T^3} ?$$

$$T \sim a^{-1}$$

$$S = \frac{2\pi^2}{45} g_* T^3 \propto a^{-3}$$

$$g_*(T)$$

T



現在の密度

$$f_{x,0} = m_x n_{x,0} = m_x S_0 \left(\frac{n_{x,0}}{S_0} \right)$$

↑
現在

$$= m_x S_0 \left(\frac{n_x}{S} \right) \downarrow \text{保存}$$

→ 計算可

$$f_{x,0} = P_{\text{DM, obs}} \text{ と } ?$$

▶ X の 分布 関数 $f_x(p_x, t)$

(カーランの X の 自由度 は ∞)
(2 次元 / 粒子 / 反粒子)
real scalar は 自由度 1.

$$\left[\begin{array}{l} \text{モルタル} \sim \lambda \rightarrow \text{分子} \\ f_x = f_x^{eq} = \frac{1}{e^{\frac{E_x}{T}} + 1} \end{array} \right]$$

momentum space で $p_x \sim p_x + dp_x$ は

X の 数密度

$$dn_x = \frac{d^3 p_x}{(2\pi)^3} f_x(p_x, t) [dp_x]$$

▶ 括消減

$$X(P_1) + X(P_2) \rightarrow \overbrace{a+b}^{\text{SM}}$$

の断面積 Sec. 3.3 で $\pi, T = \pi$!! 式 (130). もと役立
立, $T_2 \dots$

$$\sigma_{\text{ann}}(P_1 P_2 \rightarrow a.b) = \frac{1}{2E_1 \cdot 2E_2 \cdot v_{\text{rel}}}$$

$$\times \int \frac{[dP_a]}{2E_a} \frac{[dP_b]}{2E_b} (2\pi)^4 \int^4 (P_1 + P_2 - P_a - P_b) \\ \times \left| M(P_1 P_2 \rightarrow P_a P_b) \right|^2$$

①

▶ momentum P_1 の X の 括消滅

time scale

$$(\Delta t)^{-1} = \underbrace{\int [dP_2] f_x(P_2, t)}_{\text{target a momentum}} \times \sigma_{\text{ann}}(P_1 P_2 \rightarrow a.b) \\ \times v_{\text{rel}}$$

$$(\Delta t)^{-1} \sim n \sigma v$$

Sec. 3.3
n (127) 式 (130)

f.2.

$$\left. \frac{d}{dt} f_x(p_i, t) \right|_{\text{ann}} = - (\Delta t)^{-1} \cdot \underbrace{f_x(p_i, t)}_{\text{打消成\alpha如果}}$$

▶ 両辺 $\int [dp_i]$ とく

$$\left. \frac{d}{dt} n_x(t) \right|_{\text{ann}} = - \int [dp_1] [dp_2] f_x(p_1, t) f_x(p_2, t)$$



▶ 次は 逆過程 $a+b \rightarrow X \cdot X$ を計算する

$$\sigma(a(p_a) + b(p_b) \rightarrow X \cdot X)$$

$$= \frac{1}{2E_a 2E_b 2v_{\text{rel}}} \int \frac{[dp_1]}{2E_1} \frac{[dp_2]}{2E_2} (2\pi)^4 \int (\vec{p}_a^T \vec{p}_b - \vec{p}_1 \vec{p}_2)$$

$$|\mathcal{M}(p_a p_b \rightarrow p_1 p_2)|^2$$

▶ f.2 単位時間当り τ_1 単位体積当り τ_2 は

あらすじ

6/24 ココから ↓

3. QFT

4. Cosmology

5. Dark Matter

5.1 DM の証拠

5.2 DM の条件、候補

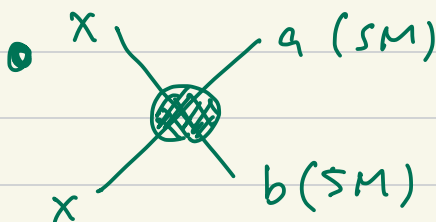
5.3 WIMP 熱的残存量の計算

今この連中

• DM X : 質量 m

• $f_X(\vec{p}, t)$: DM X の運動量分布

$$\bullet n_X(t) = \int \frac{d^3 p}{(2\pi)^3} f_X(\vec{p}, t) \text{ DM } X$$



打ち消滅
annihilation.

④ 打消滅は ± 2 単位時間で τ は $\approx 3 \times 10^{-2}$

$$\left. \frac{d}{dt} n_X(t) \right|_{\text{ann.}} = - \int [dp_1] [dp_2] f_X(\vec{p}_1, t) f_X(\vec{p}_2, t) \times \Gamma_{\text{ann.}} (X(p_1) X(p_2) \rightarrow a b) v_{\text{rel}}$$

(2)

④ 1.7.2 2子消滅断面積(1)

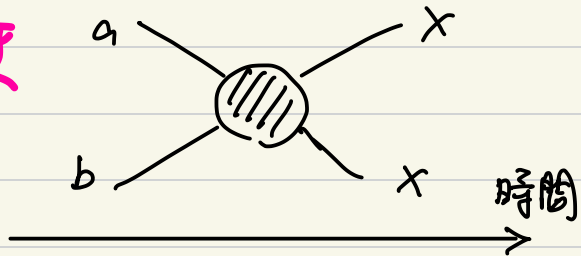
$$\sigma_{\text{ann}}(P_1 P_2 \rightarrow a.b) = \frac{1}{2E_1 \cdot 2E_2 \cdot 2v_{\text{rel}}}$$

$$\times \int \frac{[dP_a]}{2E_a} \frac{[dP_b]}{2E_b} (2\pi)^4 \int^4 (P_1 + P_2 - P_a - P_b)$$

$[dP] = \frac{d^3 p}{(2\pi)^3}$

$$\times \left| M(P_1 P_2 \rightarrow P_a P_b) \right|^2$$
(1)

↓ 2子P1の統計



▶ 次に 逆過程 $a+b \rightarrow X.X$ の 生成

$$\sigma(a(P_a) + b(P_b) \rightarrow X.X)$$

$$= \frac{1}{2E_a 2E_b 2v_{\text{rel}}} \int \frac{[dP_a]}{2E_1} \frac{[dP_b]}{2E_2} (2\pi)^4 \int^4 (P_a^\dagger P_b^\dagger - P_a^\dagger P_b)$$

$$\left| M(P_a P_b \rightarrow P_1 P_2) \right|^2$$

▶ $\frac{1}{2}$ 単位時間当り $\frac{1}{2}$ 単位体積当り $\frac{1}{2}$:

3.23 X 17

fix

$$\frac{d}{dt} N_X \Big|_{\text{stat}} = \int [dP_a] f_a(P_a) \int [dP_b] f_b(P_b)$$

$\sigma(P_a P_b \rightarrow XX) 2v_{rel.}$

$$= \int \frac{[dP_a]}{2E_a} \int \frac{[dP_b]}{2E_b} \int \frac{[dP_1]}{2E_1} \int \frac{[dP_2]}{2E_2} f_a(P_a) f_b(P_b)$$
$$(2\pi)^4 \int^4 (P_a + P_b - P_1 - P_2) \left| M(P_a P_b \rightarrow P_1 P_2) \right|^2$$

3

▶ a, b は SM 粒子 $\tau \nu \mu \bar{\nu} \gamma \bar{\chi}_1^0 \bar{\chi}_2^0$ 等 $\lambda, 2, 3$

$$f_a = f_a^{eq} = \frac{1}{e^{E_a/T} \pm 1}$$

カッターンのため

$$\simeq e^{-E_a/T} \in \text{近似}$$

($\tau \nu \mu \bar{\nu}, \tau \bar{\tau}, \tau \nu \mu \bar{\nu} \bar{\chi}_1^0 \bar{\chi}_2^0$)

$$- f \cdot f (\pm f^\dagger) (\pm f^\dagger)$$

$$+ f^\dagger \cdot f^\dagger (\pm f) (\pm f)$$

$$\begin{aligned}
 & \text{エネルギー保証!!} \\
 & \text{確率の積^2} \\
 & \delta(E_a+E_b - E_1 - E_2) \\
 & = e^{-E_a/T} e^{-E_b/T} \\
 & = e^{-E_1/T} e^{-E_2/T} \\
 & = f_X^{eq}(P_1) f_X^{eq}(P_2) \quad \left(\begin{array}{l} X \text{ 熱平衡} \\ / \text{ 布分布出 } T_c \end{array} \right)
 \end{aligned}$$

▶ $\dot{N}_X = (\cancel{\text{SP}} \text{ の } \text{出 } \text{ 入})$

$$|M(P_a, P_b \rightarrow P_1, P_2)|^2 = |M(P_1, P_2 \rightarrow P_a, P_b)|^2$$

④ ⑤ ε ③ は 1 代入

$$\frac{d}{dt} N_X \Big|_{\text{無限}} = ③ = \int [dP_1] [dP_2] f_X^{eq}(P_1) f_X^{eq}(P_2)$$

$$\times \underbrace{\frac{1}{2E_1 2E_2} \int_{2E_a} \frac{[dP_a]}{2E_a} \frac{[dP_b]}{2E_b} (2\pi)^4 \int^{(4)}_{(\dots\dots)} \dots \dots}_{\text{① 式}} |M(P_1, P_2 \rightarrow ab)|^2$$

$$\text{① 式} = \text{Jann Urel}$$

▶ f.2 ② エントロピー

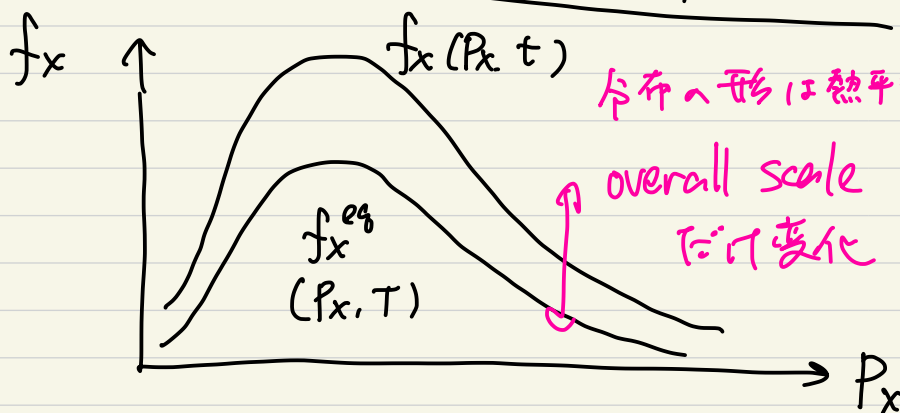
$$\frac{d}{dt} N_x = - \int [dp_1][dp_2] \left(f_x(p_1) f_x(p_2) - f_x^{eq}(p_1) f_x^{eq}(p_2) \right)$$

$\times T_{ann}(p_1, p_2 \rightarrow a, b)$ で

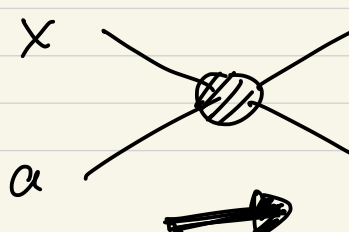
6

▶ さて

$$f_x(p_1, t) = f_x^{eq}(p_1) \frac{n_x(t)}{n_x^{eq}(T)} \text{ で決定}$$



※ kinetic eq.



数は変ります
p1...
I²πr² - a
x1とy2

「数え変える反応式」と書く
通常

$$\Rightarrow \text{左辺} = n_x^{eq}(T) \text{ 右}$$

$$n_x^{eq}(T) = \int [dp] f_x^{eq}(p, T)$$

(7) \propto $\int [dp]$ 積分する

$$\text{左辺} = n_x(t)$$

$$\text{右辺} = n_x^{eq}(T) \frac{n_x(t)}{n_x^{eq}(T)} = \text{左辺}$$

$$f_x^{eq}(T) \simeq e^{-E/T}$$

$$E = \sqrt{p^2 + m^2} \simeq m + \frac{p^2}{2m}$$

\$T \ll m\$
2. 次の近似

左辺

$$n_x^{eq}(T) \simeq \int_{(2\pi)^3} \frac{dp}{(2\pi)^3} e^{-\left(m + \frac{p^2}{2m}\right)/T}$$

$$= e^{-m/T} \int \frac{4\pi p^2}{(2\pi)^3} dp e^{-\frac{p^2}{2mT}}$$

$$x = \frac{p}{\sqrt{2mT}} \stackrel{\curvearrowleft}{=} e^{-m/T} \frac{1}{2\pi^2} \left(\sqrt{2mT} \right)^3 \underbrace{\int dx x^2 e^{-x^2}}_{\sqrt{\pi}/4}$$

$$= \frac{T^3}{(2\pi)^{3/2}} \left(\frac{m}{T} \right)^{3/2} e^{-m/T}$$

8

▶ 2. ⑦ の $f_x(p, t) = \frac{n_x(t)}{n_x^{eq}(T)} f_x^{eq}(p, T)$

を仮定すれば、⑥ 式で

$$\underbrace{f_x(p_1, t) f_x(p_2, t)}_{\text{独立性}} - \underbrace{f_x(p, T) f_x(p_2, T)}_{\text{独立性}}$$

$$= \left(\frac{n_x(t)}{n_x^{eq}(T)} \right)^2 f_x^{eq}(p_1, T) f_x^{eq}(p_2, T) - f_x^{eq}(p, T) f_x^{eq}(p_2, T)$$

$$= \frac{f_x^{eq}(p_1, T) f_x^{eq}(p_2, T)}{(n_x^{eq}(T))^2} \left(n_x(t)^2 - n_x^{eq}(T)^2 \right)$$

p_1, p_2 が独立



$n_x(t) = n_x^{eq}(T)$

$\therefore T = p_1 p_2$

したがって発展

⑥ $\Sigma \lambda \propto \lambda^2$

$$\frac{d}{dt} n_x = -$$

$$\boxed{\frac{\int [dp_1][dp_2] f_x^{eq}(p_1) f_x^{eq}(p_2) \sigma_{ann} v_{rel}}{(n_x^{eq})^2}}$$

$P_1, P_2 \sim \text{依存}$
 T_3

$$\langle \sigma_{ann} v_{rel} \rangle(T) \times (n_x^2 - n_x^{eq^2})$$

thermally averaged
cross section

$$= -\langle \sigma_{ann} v_{rel} \rangle (n_x^2 - n_x^{eq^2})$$

▶ 宇宙膨張の結果 $\Sigma \lambda \propto \lambda^2$

$$(10^{-1} \text{ Gyr} \approx 2 \times 10^10 \text{ s}) \quad n_x \propto a^{-3}$$

$$\dot{n}_x = -3H n_x$$

$$(H = \frac{\dot{a}}{a})$$



よ，2

A

$$\dot{n}_x + 3Hn_x = -\langle \sigma_{ann} v \rangle (n_x^2 - n_x^{eq 2})$$

DM の Boltzman eq

残存量計算

導出まで!!

- ① $n_x(t)$: DM x の数密度
- ② $\dot{n}_x(t) = \frac{d}{dt} n_x(t)$, t : 時間
- ③ $H(t)$: ハーフルペラト
- ④ $\langle \sigma_{ann} v \rangle(T)$: 繼平均化レート
DM 消滅断面積
- ⑤ T : 温度
- ⑥ $n_x^{eq}(T) = \frac{T^3}{(2\pi)^{3/2}} \left(\frac{m}{T}\right)^{3/2} e^{-m/T}$

→ 8

▶ 実験 = 計算 (2次元)

無次元化.

$$\textcircled{1} \quad Y_x = \frac{n_x}{S}$$

$$(g_k, S, T^3, \text{等})$$

$$S = \frac{2\pi}{45} g_k T^3 \quad I = -bc^2 - \text{密度}$$

$g' \in \text{次元}$

$$\left. \begin{aligned} S a^3 &= \text{一定 } (I = -bc^2 - \text{定数}) \quad S \propto a^{-3} \\ 0 &= \frac{d}{dt}(S a^3) = \dot{S} a^3 + S \frac{da^3}{dt} \\ \therefore \dot{S} a^3 + 3a^2 H S &= 0 \\ \therefore \dot{S} + 3H S &= 0 \end{aligned} \right\} \begin{aligned} &\stackrel{\text{等}}{=} 3a^2 \dot{a} \\ &= 3a^3 H \\ &\left(H = \frac{\dot{a}}{a} \right) \end{aligned}$$

$$\therefore \dot{n}_x + 3H n_x$$

$$= \frac{d}{dt}(Y_x S) + 3H(Y_x S)$$

$$= Y_x \dot{S} + \underbrace{Y_x \dot{S} + 3H Y_x S}_{= 0} = 0$$

つ, 2 Boltzmann eq, A は

$$\dot{Y}_x s = - \langle \sigma_{\text{ann}} v \rangle \left((Y_x^{\text{eq}})^2 - (Y_x s)^2 \right)$$

$$\dot{Y}_x = - \langle \sigma_{\text{ann}} v \rangle s (Y_x^{\text{eq}} - Y_x^2) \quad \text{(B)}$$

$$Y_x^{\text{eq}} = \frac{n_x^{\text{eq}}}{s}$$

• これら時空間を離す無次元化

$$Z = \frac{m}{T}$$

radiation dominated 宇宙 ($T \gg 1 \text{ eV}$)

Σ 仮定 $\propto T^4$ とする

$t \leftrightarrow T$ の関係より

$$\frac{\pi^2}{30} g_* T^4 = \rho_{\text{rad}} = 3 M_{\text{pc}}^2 H^2 = 3 M_p^2 \left(\frac{1}{2t}\right)^2$$

$$\therefore \frac{2\pi^2}{45} g_* T^4 = \frac{M_{\text{pc}}^2}{t^2}$$

$= g'$

$$\therefore t = \frac{M_{\text{pl}}}{\sqrt{g'} T^2} \quad \therefore \frac{dt}{dT} = -\frac{2}{\sqrt{g'}} \frac{M_{\text{pl}}}{T^3}$$

f.2

$$\frac{d}{dt} = \frac{dT}{dt} \frac{dz}{dT} \frac{d}{dz}$$

$$= \frac{-\sqrt{g'}}{2 M_{\text{pl}}} T^3 \cdot \frac{-m}{T^2} \cdot \frac{d}{dz}$$

$$= \frac{\sqrt{g'} \cdot m^2}{2 M_{\text{pl}}} \frac{1}{z} \frac{d}{dz}$$

$$z = \frac{m}{T}$$

講義後
訂正

$$S = S' T^3 = g' m^3 \left(\frac{1}{z^3} \right)$$

$$Y_x^{\text{eq}} = \frac{n_x^{\text{eq}}}{S} = \frac{1}{g' T^3} \frac{T^3}{(2\pi)^{3/2}} \left(\frac{m}{T} \right)^{3/2} e^{-m/T}$$

$$= \frac{1}{g' (2\pi)^{3/2}} z^{3/2} e^{-m/T}$$



f.2 (B) (J)

$$\frac{\sqrt{g'} \cdot m^2}{M_{\text{pl}}} z \frac{d}{dz} Y_x = - \langle \sigma_{\text{ann}} v \rangle g' m \frac{1}{z^3} \left(Y_x^2 - Y_x^{\text{eq}}{}^2 \right)$$

$$\therefore \frac{d}{dz} Y_x = - \underbrace{m M_{\text{pl}} \langle \sigma_{\text{ann}} v \rangle}_{\text{無次元量}} \frac{\sqrt{g'}}{z^2} \left(Y_x^2 - Y_x^{\text{eq}}{}^2 \right)$$

無次元量

$$(Ez)^2 \times (\text{質量})^2$$

(C)

$$T = T^* \cup \left\{ \begin{array}{l} g' = \frac{2\pi^2}{45} g_* \simeq 0.44 g_* \\ F_x^{qs} = \frac{1}{g'(2\pi)^{3/2}} z^{3/2} e^{-z} \\ \simeq \frac{0.14}{g_*} z^{3/2} e^{-z} \end{array} \right.$$

で小数解<2....

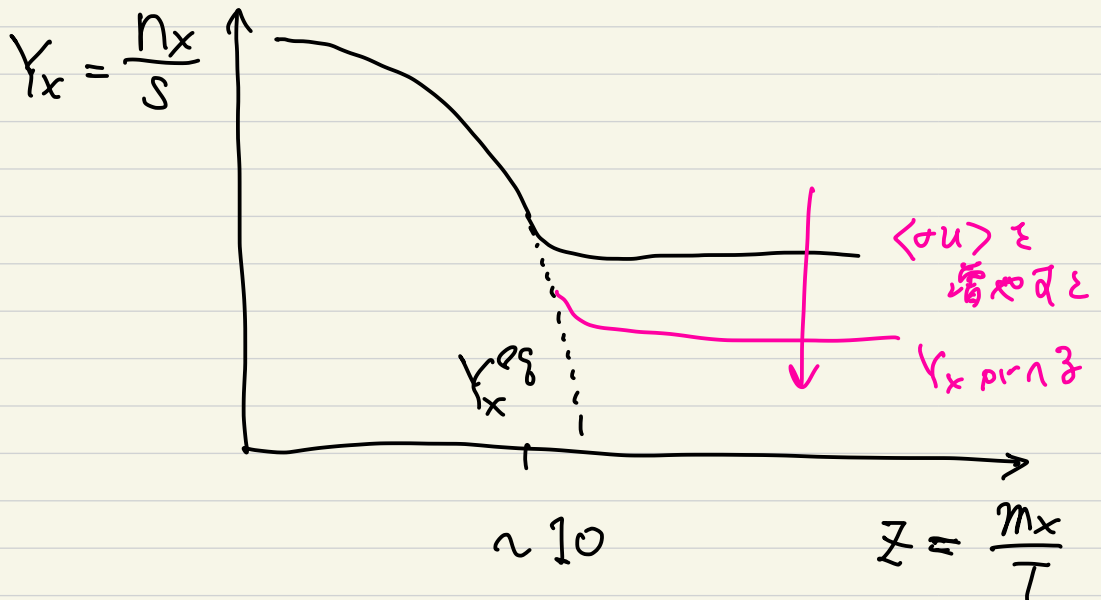
数値計算とモニストレーション (F) と

思ふに $\gamma = 0.2$ のとき準備OK

間には合いません。

数値計算が得意な人は

是非や、2+2下さ。



$$Y_x(z \rightarrow \infty) \approx \frac{1}{m_x M_{\text{pe}} \langle \sigma v \rangle} \left(+ \text{log corr.} \right)$$

$$\Omega_{x,0} = \frac{\rho_{x,0}}{\rho_{\text{crit},0}} = \frac{m_x n_{x,0}}{\rho_{\text{crit},0}}$$

$$= m_x \left(\frac{n_x}{s} \right)_0 \frac{1}{(\rho_{\text{crit}}/s)_0}$$

$$\approx \frac{1}{M_{\text{Pl}} \langle \sigma v \rangle} \frac{1}{1.8 \times 10^{-9} \text{ GeV}}$$

$$\approx 0.2 \left(\frac{1 \text{ pb}}{\langle \sigma v \rangle} \right)$$

つまり

$$\Omega_{x,0} \approx \Omega_{DM}^{\text{obs}} \approx 0.3$$

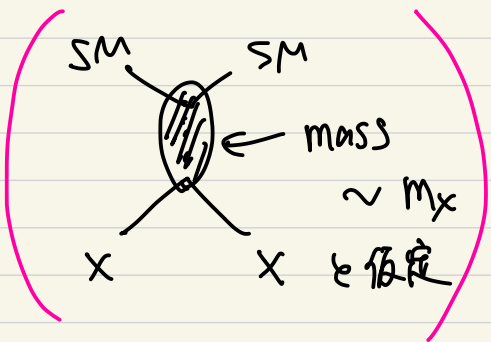
$$\iff \underbrace{\langle \sigma_{\text{ann}} v \rangle \sim 1 \text{ pb}}$$

weak scale mass

weak coupling

$$\Theta(\alpha^2) \xleftarrow{10^{-4}} \langle \sigma_{\text{ann}} v \rangle \sim 1 \text{ pb}$$

$$\langle \sigma_{\text{ann}} v \rangle \approx \frac{m_x^2}{m_x^2} \sim 1 \text{ pb}$$



$$\Theta(\alpha^2) \xleftarrow{10^{-4}}$$

$$\langle \sigma_{\text{ann}} v \rangle \sim 1 \text{ pb}$$

$$\xleftarrow[~\text{TeV}]{100 \text{ GeV}}$$

ちよと
高い!!

"WIMP
ミラーワー"

7/1 (火) ココロノス

§ 5.4 (151) Higgs-portal DM

最も簡単な / minimal は WIMP DM

"minimal DM"

- [4] V. Silveira and A. Zee, Phys. Lett. B **161**, 136 (1985).
- [5] J. McDonald, Phys. Rev. D **50**, 3637 (1994), arXiv:hep-ph/0702143.

"simplest DM"

- [6] C. P. Burgess, M. Pospelov, and T. ter Veldhuis, Nucl. Phys. B **619**, 709 (2001), arXiv:hep-ph/0011335.

► DM ψ : $z^0 > 0$ (スカラーパーティクル) と仮定

► Higgs H : SM 2つの $- \propto z^0$ - \propto スカラーパーティクル
($z^0 = 0$)

$$\mathcal{L} = \mathcal{L}_{SM}$$

$$+ \frac{1}{2} \partial_\mu \phi \partial^\mu \phi - \frac{1}{2} m_\phi^2 \phi^2$$

$$- \frac{1}{2} \lambda_{\phi H} (H^\dagger H) \phi^2$$

= $f_T \approx 0$!!

物理的
シニフカル !!



c.f. 3.3 部

$$\mathcal{L} = \frac{1}{2} \partial_\mu \phi \partial^\mu \phi - \frac{1}{2} m_\phi^2 \phi^2 - \frac{1}{4} \lambda S^2 \phi^2$$

$\lambda < 4 \times 10^{-3}$!!

5.8. 2 節 5.11. 17

$$-\frac{1}{4} \lambda S^2 \phi^2 \rightarrow -\frac{1}{2} \lambda_{\Phi H} (H^\dagger H) \phi^2$$

(3.3 部) (今回)

Higgs は $\begin{cases} \text{複素スカラーフィールド} \\ \text{SU}(2) \text{ doublet} \end{cases} \rightarrow (\text{豊富な質量})$

$$H = \begin{pmatrix} H_1 \\ H_2 \end{pmatrix} = \frac{1}{\sqrt{2}} \begin{pmatrix} S_1 + iS_2 \\ S_3 + iS_4 \end{pmatrix} \quad S_1 \sim S_4 \text{ と } S_2 \sim S_3 \text{ と }$$

$$\therefore H^\dagger = (H_1^\dagger \ H_2^\dagger) = \frac{1}{\sqrt{2}} (S_1 - iS_2, S_3 - iS_4)$$

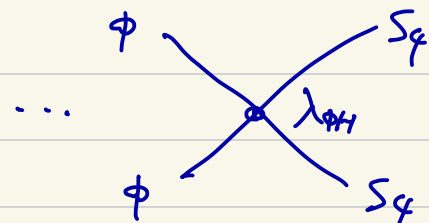
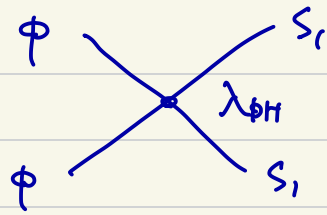
$$\therefore H^\dagger H = \frac{1}{2} (S_1^2 + S_2^2 + S_3^2 + S_4^2)$$

$$\therefore -\frac{1}{2} \lambda_{\Phi H} (H^\dagger H) \phi^2$$

$$= -\frac{1}{4} \lambda_{\Phi H} \left(\sum_{k=1}^4 S_k^2 \right) \phi^2$$



つまり



打ち消滅の終状態が4通り(4倍)



$\mathcal{L}_T = p^1 \cdot 2$

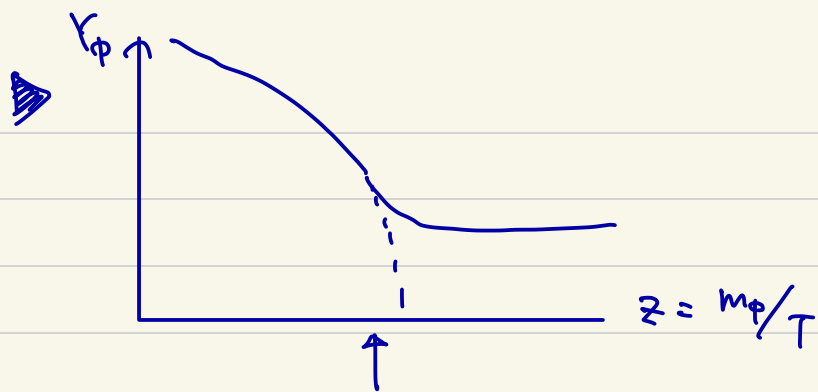
$$= 4 \mathcal{O}_{\text{ann}} \mathcal{V}_{\text{rel}} (\phi(p_1) \phi(p_2) \rightarrow H^\dagger H)$$

$$= 4 \mathcal{O}_{\text{ann}} \mathcal{V}_{\text{rel}} (\phi(p_1) \phi(p_2) \rightarrow S_1 S_1')$$

$$\approx 4 \times \left(\frac{3.3 \text{ 部} \times 166 \text{ GeV}}{\lambda \rightarrow \lambda_{\phi H} \times 17 \text{ GeV}} \right) \times \mathcal{V}_{\text{rel}}$$

$$\approx \frac{\lambda_{\phi H}}{16\pi} \frac{\beta_S}{E_{p_1}^2}, \quad \beta_S \approx \sqrt{1 - \frac{m_S^2}{E_{p_1}^2}}$$

※ ハーフトは $SU(2) \times U(1)$ と組み合って $S_1 S_1'$
 必要条件として $m_\phi \gg m_H \simeq 125 \text{ GeV}$
 2つは無視できる。
 $\simeq 4 \times 2$ 倍定



$$\approx 2 \cdot 17 \quad z \sim 20$$

$$T \sim \frac{1}{20} m_\phi \quad (\text{for } z \approx 2)$$

ϕ is non-relativistic, $E_{\phi} = \sqrt{m_\phi^2 + p_1^2}$

$$\simeq m_\phi$$

$$\text{If } m_\phi \gg m_s$$

$$\rightarrow \beta_s \simeq 1$$

$$\text{for } \sigma_{\text{ann}} v_{\text{rel}} (\phi \phi \rightarrow H^+ H^-) \simeq \frac{\lambda_{\phi H}^2}{16 \pi m_\phi^2}$$

p -independent ($\approx \alpha^2$) $\propto \frac{1}{\sqrt{s}} \propto \frac{1}{\sqrt{m_\phi^2 + p^2}}$

$$\langle \sigma_{\text{ann}} v_{\text{rel}} \rangle \simeq \frac{\lambda_{\phi H}^2}{16 \pi m_\phi^2}$$

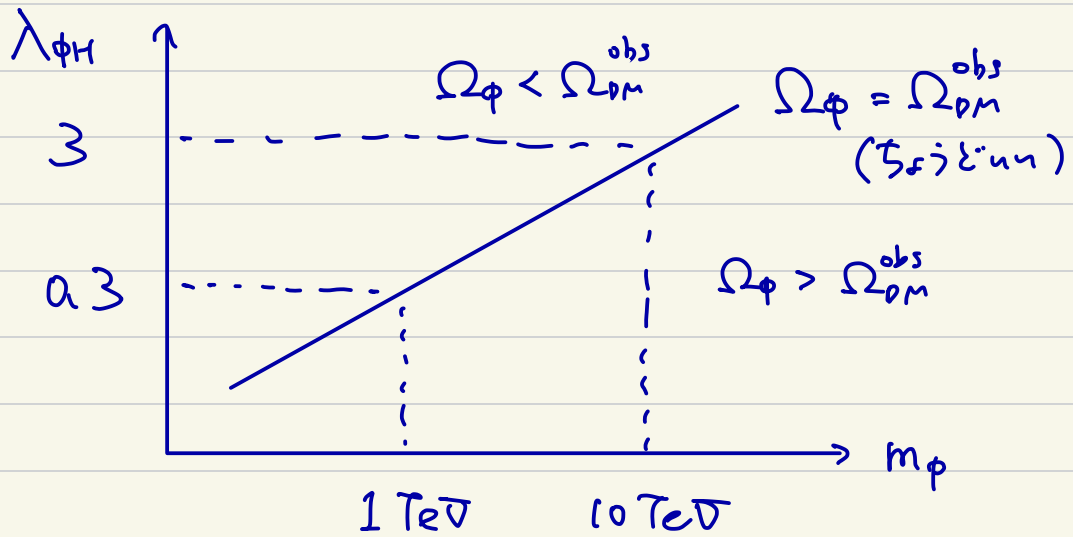
$\rightarrow 5.3 \text{ fb} \quad \Omega_{DM}^{\text{obs}} \simeq 0.3 \quad \text{證明 } \phi \text{ 存在}$

$$\left. \langle \sigma_{\text{ann}} v_{\text{rel}} \rangle \right|_{\text{thermal relic}} = 1 \text{ pb}$$

$$\text{つまり} \quad \frac{\lambda_{\phi H}^2}{16 \pi m_\phi^2} \simeq 1 \text{ pb}$$

$$\Leftrightarrow \lambda_{\phi H} \simeq \sqrt{1 \text{ pb} \times 16 \pi m_\phi^2}$$

$$\simeq 0.3 \left(\frac{m_\phi}{1 \text{ TeV}} \right)$$



► $\Sigma = 3 \Sigma - \dots$

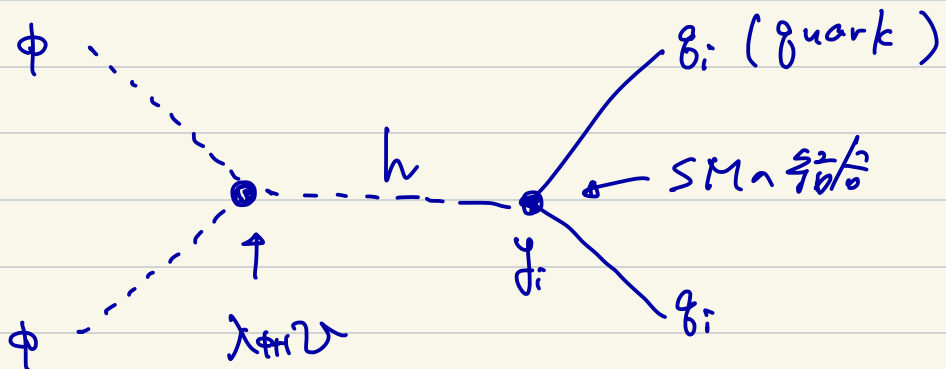
同様 v の $\lambda_{\Phi H}$ が $\frac{g_2^2}{6}$ の ΔM 対応 $\propto \int$

如く $v < 3$

$$H \approx \frac{1}{\sqrt{2}} \begin{pmatrix} v + h \\ 0 \end{pmatrix} \quad \begin{array}{l} \text{±, 2 つ以上} \\ \text{の展開} \end{array}$$

v は Higgs の
真空期待値

$$\begin{aligned} &\rightarrow -\frac{1}{2} \lambda_{\Phi H} (H^\dagger H) \phi^2 \\ &= -\frac{1}{4} \lambda_{\Phi H} (v + h)^2 \phi^2 \\ &= -\frac{1}{2} (\lambda_{\Phi H} v) h \phi^2 + \dots \end{aligned}$$



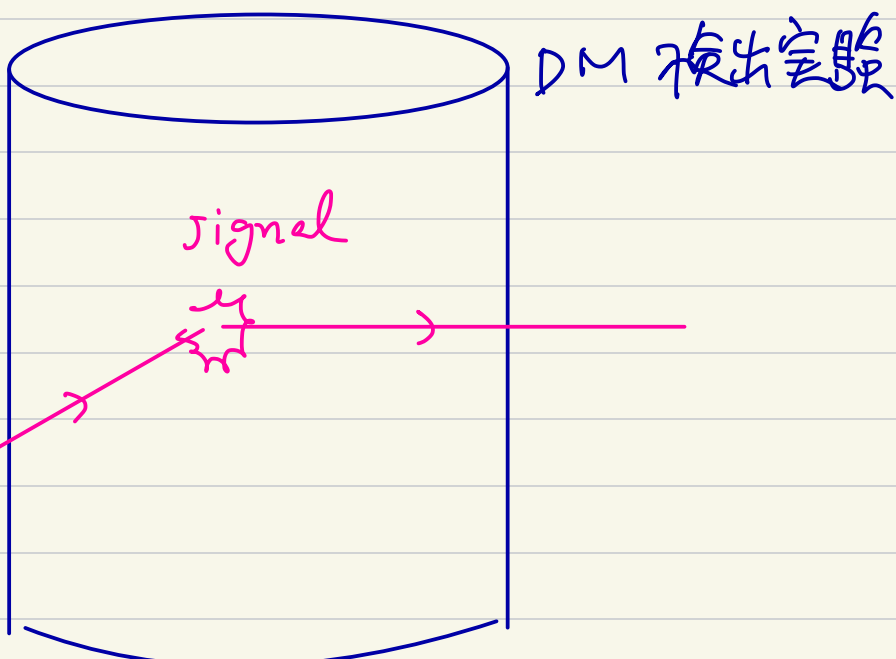
(2カラーフィールドの点線
 $\gamma_2 \sim \gamma_3$ は実線
 γ と γ は γ と γ と)

↗

$$\mathcal{T}(\phi N \rightarrow \phi N) = \frac{\lambda_{\phi h}^2 f_N^2}{4\pi} \left(\frac{m_N}{m_h} \right)^4 \frac{1}{(m_\phi + m_N)^2}$$

$f_N \approx 0.3$
 $m_N = 0.94 \text{ GeV}$

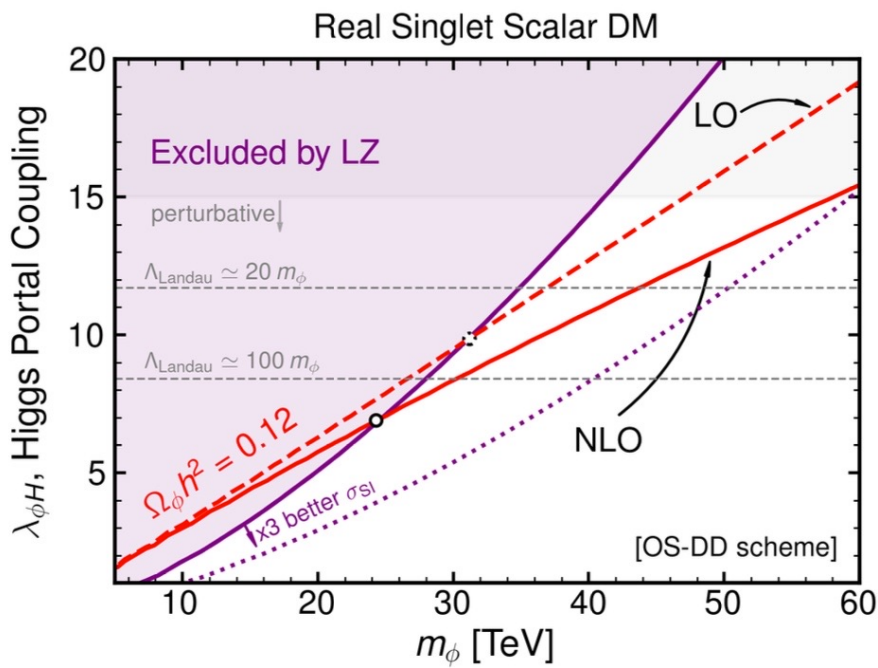
$m_h = 125 \text{ GeV}$



日本語解説記事 「宇宙のダークマター直接探索の現状」

https://www.jstage.jst.go.jp/article/butsuri/:75/2/75_68/_article/-char/ja/

▶ loop補正とPb_b未含の結果



<https://arxiv.org/abs/2505.02408>

(2月20日付23日未2025)

minimal DM model は面白い